

UNIVERSIDADE FEDERAL DE MINAS GERAIS
DEPARTAMENTO DE CIÊNCIA DA COMPUTAÇÃO

Cecília Regina Oliveira de Assis

Reconhecimento de Naves

Trabalho Prático - Grafos

Minas Gerais, Brasil

Maio de 2019

Sumário

1	INTRODUÇÃO	2
1.1	Descrição do problema	2
1.2	Modelagem do problema	2
2	DESENVOLVIMENTO	3
2.1	Visão geral do algoritmo	3
2.2	Reconhecimento das naves	4
2.2.1	Critérios de classificação	4
2.3	Tempo de vantagem	4
3	DISCUSSÃO	6
3.1	Análise de complexidade	6
3.2	Análise experimental	7
	REFERÊNCIAS	9

1 Introdução

1.1 Descrição do problema

O problema a ser modelado e resolvido, utilizando grafos, no trabalho se dividiu em duas etapas:

- A primeira foi a fase de **reconhecimento das naves**, onde uma frota de naves inimigas deveria ser reconhecida quanto a sua categoria, a partir de sua estrutura. Para cada uma das naves foi disposto um conjunto de entrada que enumerava um arranjo de postos de combate e suas conexões, que por sua vez caracterizavam as possibilidades de teleporte entre posições.
- A segunda foi a etapa de cálculo do limite inferior do **tempo de vantagem**. Aqui, a pergunta a ser respondida era: quanto rápido toda a tripulação de qualquer nave consegue chegar em seu posto de combate?

1.2 Modelagem do problema

A modelagem do problema empregando a condição de grafos foi bastante intuitiva. Sendo $G = (V, E)$ a frota inimiga, os postos de combate representaram o conjunto $V[G]$ e as conexões entre eles $E[G]$, utilizando a conotação adotada por Cormen et al. (2009).

2 Desenvolvimento

O trabalho foi desenvolvido em C++ utilizando, de modo geral, as estruturas convencionais dispostas pela linguagem, e.g. *vetores*, *filas* e *structs*.

O grafo foi construído através de *vetores de vetores*, sendo cada índice do mesmo um posto de combate e cada posição sua lista de adjacências. Já as naves foram representadas como *structs* nomeadas **Ship**, com informações quanto suas arestas, vértices, número de folhas, tipo e identificação (Cód. 2.1).

```
struct Ship {
    int id;
    int type;
    int paths = 0;
    int leaves = 0;
    vector<int> posts;
};
```

Exemplo de código 2.1 – Estrutura de representação das naves

2.1 Visão geral do algoritmo

Para cada seção do algoritmo uma função foi criada a fim de organização, de forma que o arranjo da função principal foi a seguinte, onde o nome de cada função se encontra entre parênteses:

1. Leitura do número de vértices e arestas
2. Criação do grafo (`make_graphs()`)
3. Reconhecimento das naves (`recognize_ships()`)
4. Armazenamento das trocas de posto (`store_changes()`)
5. Cálculo do limite inferior do tempo de vantagem (`their_advantage()`)
6. Exposição da frota, i.e, a saída do algoritmo (`expose_fleet()`)

É importante salientar que o código foi complementante escrito em inglês, conforme é possível observar a partir da nomenclatura das funções.

2.2 Reconhecimento das naves

Para resolver essa etapa, cada nave foi analisada enquanto uma componente conexa e o algoritmo *DFS* empregado.

Ambos os algoritmos de busca em grafos poderiam ter sido adotados, porém o *DFS* foi o escolhido devido sua propriedade de visitar um vértice no momento em que ele é descoberto, facilitando então o caminhar pelas naves de forma direta.

Já o conceito de componentes conexas adveio do fato de, trivialmente, existirem caminhos entre quaisquer pares de postos da mesma embarcação.

2.2.1 Critérios de classificação

Cada nave foi analisada e então classificada de forma individual, sendo empregados quatro critérios mutualmente exclusivos:

1. Caso a nave apresentasse duas folhas, a mesma era então classificada enquanto nave de **reconhecimento**;
2. Ao passo que se possuísse o mesmo número de vértices e arestas, o veículo era então **transportadora**;
3. Se exibisse uma quantidade de vértices menor que seu montante de arestas, tal nave era **bombardeiro**;
4. Não se encaixando em nenhuma das mencionadas possibilidades, **frigata**.

2.3 Tempo de vantagem

De forma similar a etapa de reconhecimento, o cálculo do tempo de vantagem também foi operado de forma distinta para cada nave:

- **Reconhecimento** seguindo basicamente a estrutura de uma fila encadeada, ao apresentar nós sequenciais, o cálculo do tempo de vantagem desta nave obedeceu o valor exibido pelo módulo da diferença entre os vértices da mudança de postos.
- **Frigata** por ser uma árvore, o algoritmo *LCA* (Lowest Common Ancestral), que busca pelo menor ancestral em comum entre os vértices (SIAUDZIONIS, 2016) foi empregado.
- **Transportadora** esta nave possuía em sua estrutura um ciclo, logo, para o cálculo do tempo de vantagem neste veículo duas possibilidades foram avaliadas e a melhor

delas escolhida, a primeira abordando o uso dos vértices do ciclo e a segunda a situação contrária.

- **Bombardeiro** sendo um grafo bipartido completo, após a coloração de cada vértices, também duas possibilidades eram analisadas. Caso as posições da troca fizessem parte da mesma partição da nave, então a menor distância entre eles apresentava duas unidades, caso contrário somente uma.

Por fim, após a avaliação de todas as naves, o menor tempo de vantagem conhecido foi dividido por dois, posto que efetuar o teleporte de um integrante da tripulação encurtava em uma unidade a distância de outro do seu posto de destino.

3 Discussão

3.1 Análise de complexidade

Por tarefa da resolução, têm-se:

Tabela 1 – Análise de complexidade de Tempo e Espaço do algoritmo

	Tempo	Espaço
<i>Construção do Gráfico</i>	$O(V + E)$	$O(V + E)$
<i>Reconhecimento das naves</i>	$O(V + E)$	$O(V + V + V + V + E)$
<i>Tempo de vantagem: Reconhecimento</i>	$O(V)$	$O(1)$
<i>Tempo de vantagem: Frigata</i>	$O(V ^2)$	$O(1)$
<i>Tempo de vantagem: Transportadora</i>	$O(V)$	$O(1)$
<i>Tempo de vantagem: Bombardeiro</i>	$O(V)$	$O(1)$
Total	$O(V ^2)$	$O(V + E)$

Para o reconhecimento das naves foram necessários três vetores para armazenamento das partições, dos níveis e dos pais de cada vértices e mais quatro, que em seu total ocuparam espaço $O(|V| + |E|)$, para armazenamento das naves.

O tempo de vantagem ocupou espaço $O(1)$, dado que todo seu pré-processamento já havia sido realizado, de forma que somente a soma das distâncias precisou ser alocada. Tal fase, para a *frigata*, foi aquele que representou maior tempo de execução, em virtude da complexidade $O(|V|)$ para cada chamada do algoritmo *LCA*.

Finalmente, a complexidade total de execução foi $O(|V|^2)$ em função do cálculo do tempo de vantagem da *frigata* e em espaço $O(|V| + |E|)$ por essa figurar os termos de maior ordem.

3.2 Análise experimental

Para discussão dessa seção, a tabela 2 apresenta a quantidade de vértices e arestas de cada entrada dos casos de teste:

Tabela 2 – Metadados dos casos de teste

	# Vértices	# Arestas
<i>1.in</i>	165	546
<i>2.in</i>	21	20
<i>3.in</i>	999	992
<i>4.in</i>	2435	10000
<i>5.in</i>	10000	9524
<i>6.in</i>	11823	100000
<i>7.in</i>	42758	100000
<i>8.in</i>	22436	100000
<i>9.in</i>	36407	1000000
<i>10.in</i>	100000	95626
<i>pdf1.in</i>	15	14
<i>pdf2.in</i>	19	18

O software Valgrind (2000-2019) foi adotado para cálculo da alocação de memória para cada um dos arquivos acima, enquanto um gráfico de com cinquenta execuções explicita o tempo decorrido na operação de caso.

Conforme apresentam as figuras 1, 2, sendo para o gráfico de tempo cada linha/cor uma execução, o caso “9.in” foi o mais custo tanto no tempo quanto na alocação de memória, tendo este a maior quantidade de aresta dentre os demais.

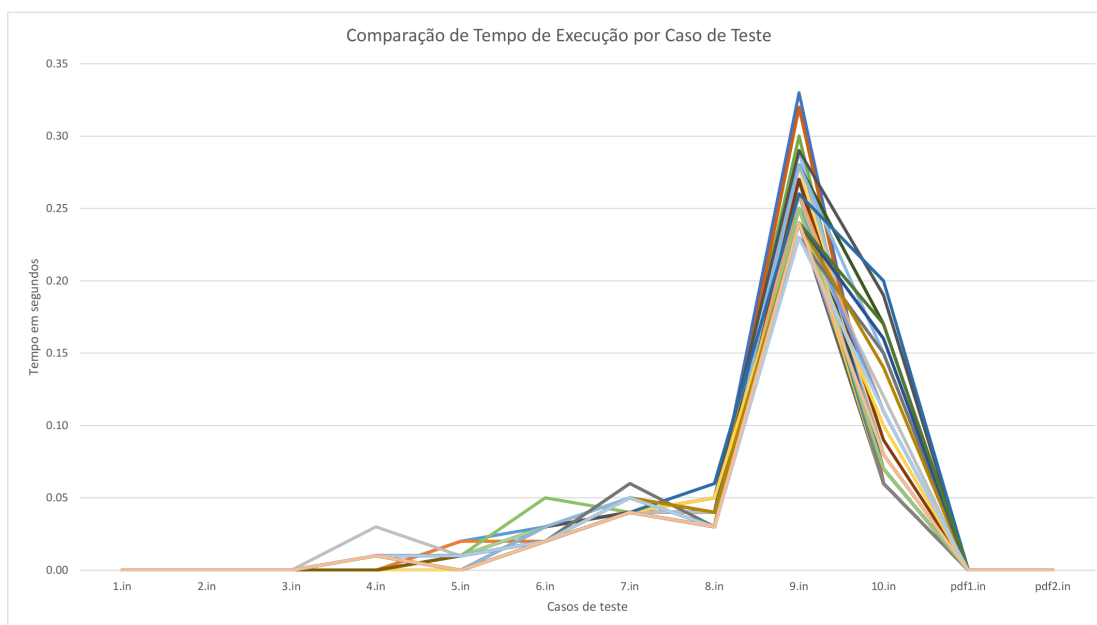


Figura 1 – Comparação de Tempo de Execução por Caso de Teste

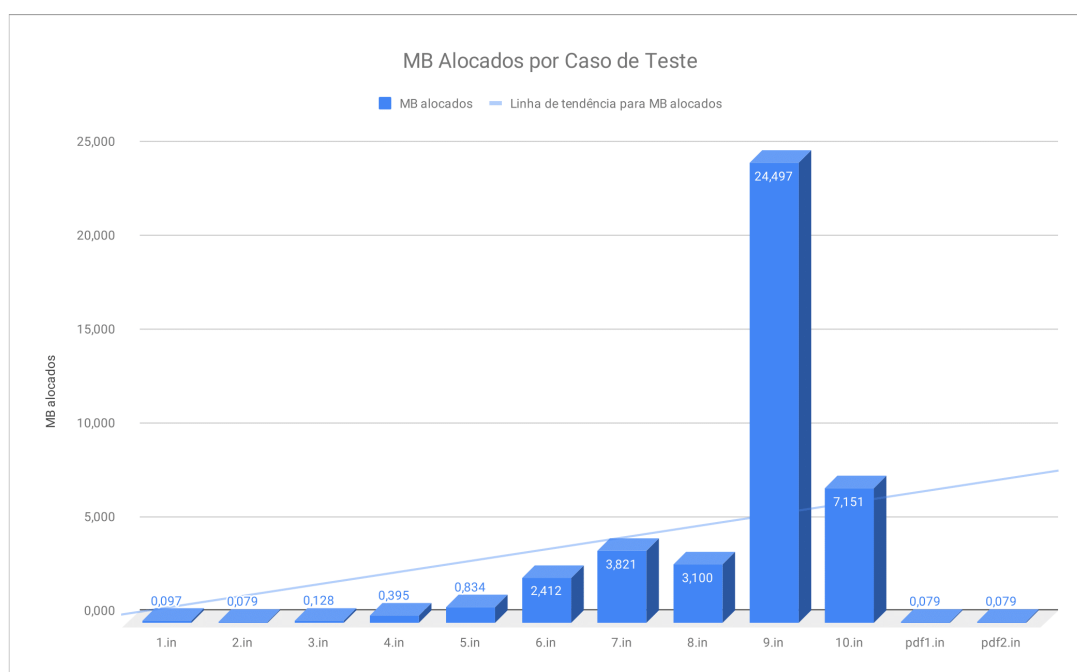


Figura 2 – Comparação de Alocação de Memória por Caso de Teste

Referências

CORMEN, T. H. et al. *Introduction to algorithms*. [S.l.]: MIT press, 2009. Citado na página 2.

SIAUDZIONIS, L. Menor ancestral comum. 2016. (Accessed on 05/12/2019). Citado na página 4.

Valgrind. *Valgrind*. 2000–2019. Disponível em: <<http://valgrind.org>>. Citado na página 7.